

## اثر سرعت بارگذاری بر ظرفیت باربری شالوده‌های نواری واقع بر خاک ماسه‌بی مسلح به ژئوگرید

سید محمد حسینی\* (استاد)

دانشکده مهندسی عمران و محیط زیست، دانشگاه صنعتی امیرکبیر

سعید ابویشه‌ی (استادیار)

گروه عمران، دانشگاه آزاد اسلامی واحد مشهد

یکی از پارامترهای مؤثر بر رفتار خاک و عملکرد شالوده‌ها «سرعت بارگذاری» است و تغیین رفتار پی‌ها نیازمند شناخت اثرات کمی و کیفی این پارامتر است. در این نوشتار نتایج مطالعات آزمایشگاهی صورت گرفته روی مدل پی نواری واقع بر سطح خاک ماسه‌بی غیرمسلح و نیز مسلح به ژئوگرید تحت بارهای استاتیکی، به صورت کتلت نیرو و با سرعت‌های مختلف ارائه شده است. سپس اثر نرخ بارگذاری بر ظرفیت باربری و نشست نهایی مدل پی بررسی شده است. آزمایش‌ها با استفاده از سیستم آزمایشگاهی جدیدی که برای مدل سازی فیزیکی رفتار شالوده‌ها توسعه یافته، انجام شده است. نتایج حاصله ضمن اثبات دقت و تکرارپذیری مدل فیزیکی، به ویژه در حالت غیرمسلح، نشان می‌دهد که اثر نرخ بارگذاری بر رفتار شالوده‌های مسلح و غیرمسلح متفاوت است. افزایش سرعت بارگذاری منجر به کاهش اندازه مشاهده‌ی ظرفیت باربری و افزایش نسبی نشست‌های نهایی خاک مسلح می‌شود.

mirh53@yahoo.com  
saeedabrihami@yahoo.com

واژگان کلیدی: خاک مسلح، ژئوگرید، ماسه، نرخ بارگذاری، مدل سازی فیزیکی،  
ظرفیت باربری، نشست.

### ۱. مقدمه

یک محیط پیوسته در نظر گرفته می‌شود. مدل سازی‌های متعدد موجود، معمولاً از قابلیت بررسی تأثیر سرعت بر فاز سیال و سپس مطالعه‌ی تأثیر متقابل فاز سیال بر رفتار کل توده برخوردارند. از آنجا که توسعه‌ی مدل‌های رفتاری مناسب معمولاً بدون انجام مدل سازی‌های فیزیکی امکان‌پذیر نیست، این تحقیق از اهمیتی خاص برخوردار است و نتایج آن می‌توانند فراهم آورنده‌ی شناختی کامل‌تر در این زمینه باشد.

در تحقیق حاضر، به منظور تعیین خصوصیات فیزیکی و مکانیکی، ابتدا آزمایش‌هایی روی خاک و ژئوگرید صورت گرفته است. سپس با استفاده از سیستمی که جدیداً در دانشگاه صنعتی امیرکبیر ساخته شده،<sup>[۱]</sup> و به منظور بررسی توانایی‌های سیستم آزمایشگاهی و برنامه‌ریزی آزمایش‌های اصلی، آزمایش‌های اولیه‌ی مدل سازی انجام شده است.

آزمایش‌های اصلی به دو گروه آزمایش‌های غیرمسلح و مسلح تقسیم شده‌اند. مقایسه‌ی نتایج آزمایش‌های صورت گرفته روی خاک غیرمسلح با نتایج بررسی‌های دیگر محققین،<sup>[۲]</sup> مؤید صحت و دقت آزمایش‌ها و عملکرد سیستم توسعه یافته برای مدل سازی فیزیکی مسئله‌ی ظرفیت باربری است. اما مقایسه‌ی نتایج آزمایش‌های صورت گرفته روی خاک مسلح با خاک غیرمسلح و با نتایج تنها تحقیق صورت گرفته در این زمینه، بیان‌گر تفاوت و تبعع رفتاری است.

نواخی وسیعی از سرزمین‌های خشک و نیمه‌خشک با ماسه پوشیده شده است. این خاک‌ها تحت بارهای افزایشی معمولاً نشست‌هایی اضافی دارند. مسلح‌سازی خاک با ژئوگرید از جمله روش‌های متعارف مقاوم‌سازی به صورت فیزیکی است که منجر به افزایش ظرفیت باربری و سختی خاک می‌شود. از این روش در بسیاری از پژوهش‌های ژئوتکنیکی نظریه شالوده‌های سطحی، خاک‌ریز بزرگ‌راه‌ها و خطوط لوله استفاده می‌شود.

هنوز جنبه‌های بسیاری از اثرات مسلح‌سازی بر رفتار خاک ناشناخته است، که از آن جمله می‌توان به تأثیر نرخ بارگذاری بر رفتار شالوده‌ها اشاره کرد. افزایش سرعت بارگذاری بر شالوده‌های مختلف، خصوصاً واقع بر خاک‌های اشباع و نیمه‌اشباع ممکن است به افزایش سریع فشارهای منفذی، کاهش ناگهانی فشارهای مؤثر و شکست پی منجر شود، به ویژه آنکه شالوده‌های بسیاری، نظریه شالوده‌ی سازه‌های مقاوم در برابر انفجار<sup>۱</sup> و سکوهای پرتاب موشك<sup>۲</sup> برخلاف شالوده‌ی ساختمان‌ها، تحت بارهای ضربه‌ی و سریع‌اند.

مدل سازی عددی این مسئله برای خاک خشک بدون توسعه‌ی یک مدل رفتاری مناسب امکان‌پذیر نیست، چرا که در اغلب مدل سازی‌های عددی، خاک همانند

\* نویسنده مسئول  
تاریخ: دریافت ۲۲، اصلاحیه ۵، ۱۳۸۹، پذیرش ۹، ۱۳۸۹.

## ۲. پیشینه‌ی موضوع

شکل ۱ مقطع و پلان یک پی نواری به عرض B واقع بر سطح خاک ماسه‌یی مسلح به یک لایه ژئوگرید به عرض b و طول l (بایار طول بی) در عمق u تحت بار گستردگی ایستای q را نمایش می‌دهد. بررسی این مسئله برای خاک‌های ماسه‌یی و نیز مطالعه‌ی پارامترهای اصلی طراحی توسعه محققین بسیاری انجام شده،<sup>[۶-۳]</sup> اما بررسی تأثیر نزخ بارگذاری چندان مورد مطالعه قرار نگرفته است.

براساس جست‌وجوی صورت‌گرفته در متون فنی، تا کون تحقیقات بسیار محدودی برای بررسی تأثیر نزخ بارگذاری روی ظرفیت باربری خاک‌های مسلح صورت گرفته است. این در حالی است که این موضوع برای خاک‌های غیرمسلح پیش‌تر مفصل‌آمطالعه شده است.

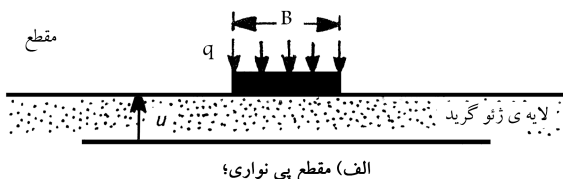
تأثیر نزخ بارگذاری بر ظرفیت باربری شالوده‌ی سطحی دایره‌یی واقع بر ماسه تحت بار قائم محوری ابتدا در سال ۱۹۵۸ و پس از آن در سال ۱۹۶۵ به صورت کامل‌تر بررسی شد<sup>[۷]</sup> نتایج این تحقیقات نشان می‌دهد:

۱. ظرفیت باربری ابتدا با افزایش سرعت بارگذاری تا مقادیر متوسط حدود ۵mm/sec.<sup>۰</sup> به مقدار اندازه ۵mm/sec. به قابل تشخیص کاهش می‌پابد. کاهش ظرفیت باربری همراه با کاهش ابعاد گوه خاک است (شکل ۲).

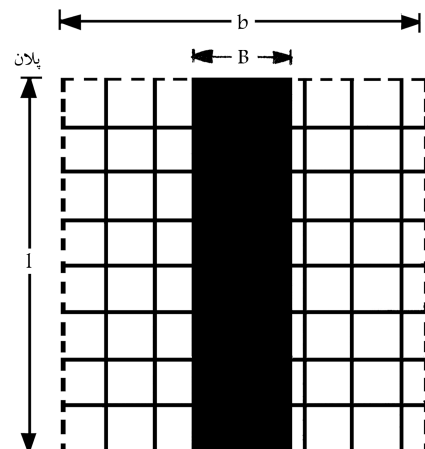
۲. در آزمایش‌های سریع‌تر افزایش ظرفیت باربری مشاهده می‌شود که این افزایش برای خاک خشک قابل توجه نیست، به طوری که ظرفیت باربری در سریع‌ترین آزمایش‌ها — با نزخ بارگذاری  $25/4$  mm/sec. — از ظرفیت باربری در شرایط بارگذاری آرام بیشتر نمی‌شود (شکل ۲).

۳. هر منحنی بار - نشست یک بخش خطی اولیه دارد که به یک پیشینه و کمینه‌یی منتهی به بخش خطی دیگری با شیب شدیداً کاهش یافته می‌رسد؛ سپس گسیختگی بررسی کلی نزخ می‌دهد (شکل ۳).

۴. بار نهایی در ماسه‌ی خشک در نشستی حدود ۷/۸ درصد بعد شالوده (قطر)



الف) مقطع بی نواری؛



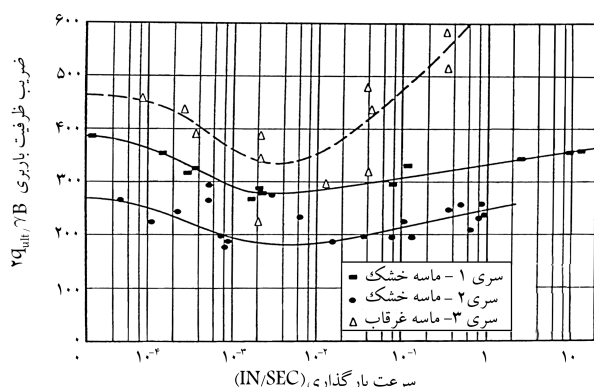
ب) پلان بی نواری و ژئوگرید. [۱۰، ۱۱]

شکل ۱. بررسی ظرفیت باربری خاک مسلح.

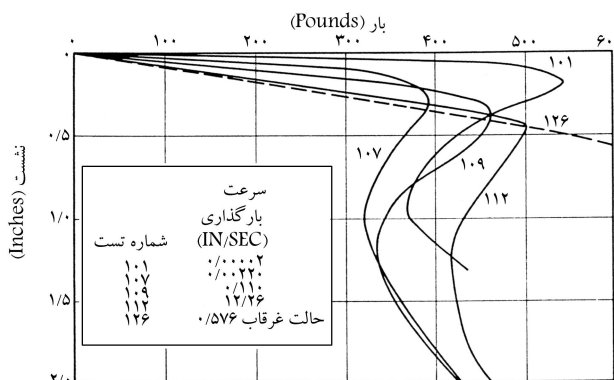
نزخ می‌دهد (شکل ۴). به نظر می‌رسد افزایش نشست‌های نهایی در نزخ‌های بارگذاری، به مقدار اندازه یک خیلی سریع نزخ می‌دهد؛ این تغییر برای شالوده‌های واقع بر ماسه‌ی اشباع کاملاً واضح است.

۵. به نظر می‌رسد با افزایش سرعت بارگذاری از اندازه تقریباً سریع، تراکم‌بذری افزایش می‌پابد.

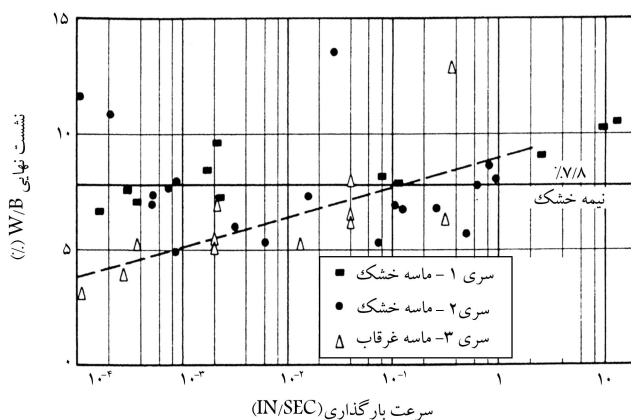
تحقیقین در شرح پدیده مشاهده شده بیان داشته‌اند که در بارگذاری ایستای ماسه



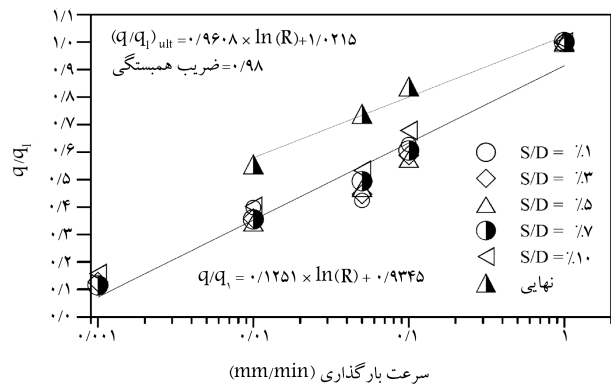
شکل ۲. تأثیر نزخ بارگذاری بر ظرفیت باربری پی دایره‌یی سطحی واقع بر ماسه‌ی غیرمسلح. [۲]



شکل ۳. نمودار بار - نشست پی دایره‌یی سطحی واقع بر ماسه‌ی غیر مسلح. [۲]



شکل ۴. تغییرات نشست نهایی با نزخ بارگذاری برای پی دایره‌یی سطحی واقع بر ماسه‌ی غیرمسلح. [۲]



شکل ۷. اثر نیز بارگذاری بر ظرفیت پاره‌ی بی دایره‌ی سطحی واقع بر ماسه‌ی مسلح به ژئوگرد.<sup>[۹]</sup>

لگاریتمی افزایش می‌باید (شکل ۶). براساس تعریف، E مدول تغییر مکان یعنی شیب قسمت خطی منحنی بار-نشست و E1 مقدار E بازی نیز بارگذاری ۱ mm/min است.

۳. اثرات نیز بارگذاری روی ظرفیت پاره‌ی — چه در سطح سرویس و چه در سطح نهایی — می‌تواند قابل توجه باشد و ظرفیت پاره‌ی به صورت لگاریتمی با افزایش نیز بارگذاری افزایش می‌باید (شکل ۷).

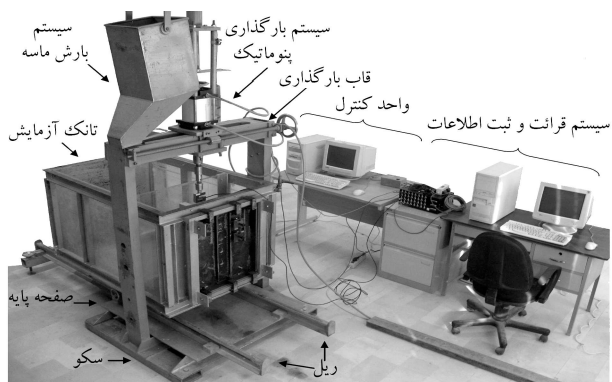
۴. تسليیح خاک با ژئوگرد در سطوح فشار ماسه‌ی سطحی نشست خاک مطالعه‌ی خوشی می‌شود، ولی لغزش و گسیختگی مسلح‌کننده در فشارهای نهایی باعث فعال‌سازی مجدد خوش می‌شود.

۵. اثر خوش روی پاسخ بار-نشست خاک ماسه‌ی مسلح مهم نیست، چرا که مسلح‌سازی نشست‌ها را کاهش می‌دهد و رفتار را اصلاح می‌کند.

در تحقیق یادشده صرفاً پیچیدگی تأثیر نیز بارگذاری بر ظرفیت پاره‌ی بیان شده، اما جزئیات مشاهده شده و دلایل کاهش احتمالی آن نادیده گرفته شده است.

### ۳. مدل فیزیکی

سیستم مورد استفاده در تحقیق حاضر (شکل ۸) با هدف مدل‌سازی مسائل بارگذاری و پاره‌ی شالوده‌ها و فراهم آوردن اطلاعات دقیق برای بررسی درستی فرضیات و مدل‌های تحلیلی، عددی و رفتاری، ضمن رفع نقاط ضعف عمده‌ی



شکل ۸. مجموعه‌ی کامل سیستم آزمایشگاهی مطالعه‌ی رفتار پیهای نواری واقع بر خاک مسلح.

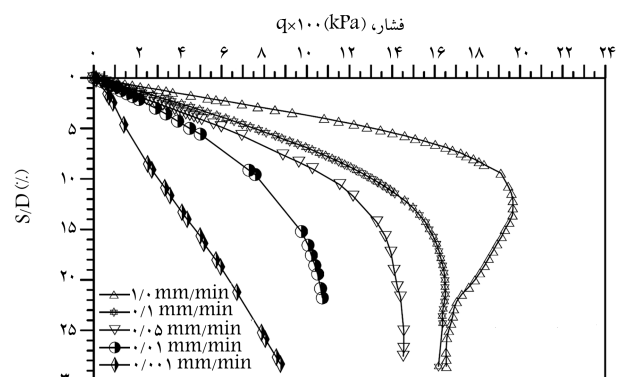
با کنترل تنش، ذرات برای تنظیم موقعیت خود در هر نمو بار نیازمند زمان‌اند.<sup>[۲]</sup> در تصویری که این فرصت به ذرات داده نشود، ابتدا افت ظاهری مقاومت یا ظرفیت باربری و افزایش غیریشکل با تراکم پذیری رخ می‌دهد. با این وجود، ذرات برای جایگزینی نیز بارگذاری، اثر زمانی دیگری بیشتر محسوس می‌شود. ذرات در شرایط کاملاً سریع در امتداد مسیر کمینه مقاومت نیز نیاز به زمان دارند و در شرایط کاملاً سریع قادر به دنبال کردن این مسیر نیستند و درنتیجه، مقاومت برشی و ظرفیت باربری افزایش می‌باید. این توضیح با مشاهدات سطوح گسیختگی توسعه یافته در خاک تأیید می‌شود.

تفاوت گسیختگی با تمرکز بر سرعت بارگذاری (برش سوراخ‌کننده برای بارهای خیلی سریع و برش کلی برای سایر موارد) را می‌توان با توجه به بازداری اینرسی<sup>۳</sup> خاک در برش توضیح داد. همچنین می‌توان نشان داد که این عامل اثری مشابه فشار سربار یا دفن شدگی عمیق روی مدل گسیختگی دارد.<sup>[۸]</sup>

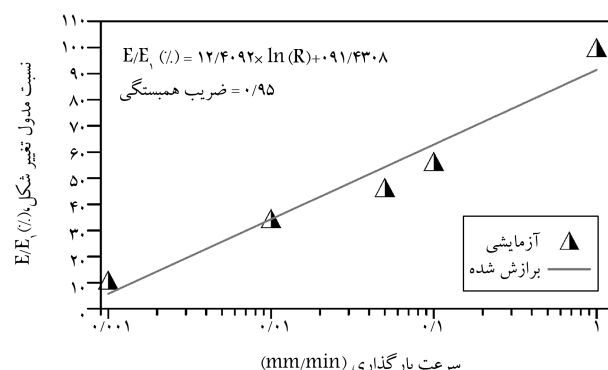
در سال ۲۰۰۵ محققین با انجام آزمایش‌های روی مدل پی دایره‌ی به قطر ۷۰ mm واقع بر سطح توده‌ی خاک ماسه‌ی به قطر ۴۸۵ mm و ارتفاع ۳۰۰ mm مسلح به یک لایه‌ی ژئوگرد به قطر d/D=۶,۹۳ در نسبت عمق a/D=۰,۳۶ ضمیم مطالعه‌ی پدیده‌ی خوش به مطالعه‌ی اثر نیز بارگذاری به صورت کنترل تغییر مکان بر رفتار پیهای دایره‌ی واقع بر ماسه‌ی مسلح به ژئوگرد پرداختند.<sup>[۲]</sup> نتایج حاصل از این تحقیق نشان می‌دهد که:

۱. رفتار پیهای مسلح، بهشت تخت تأثیر نیز بارگذاری است (شکل ۵).

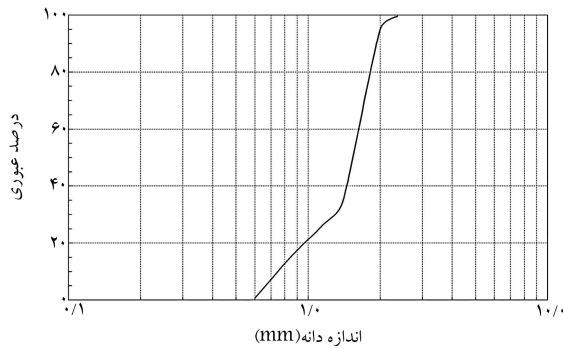
۲. اثرات نیز تغییر مکان روی نشست خاک مسلح می‌تواند قابل توجه باشد و مدول تغییر مکان خاک ماسه‌ی مسلح به ژئوگرد با افزایش نیز بارگذاری به صورت



شکل ۵. نمودار بار-نشست پی دایره‌ی سطحی واقع بر ماسه‌ی مسلح به ژئوگرد.<sup>[۹]</sup>



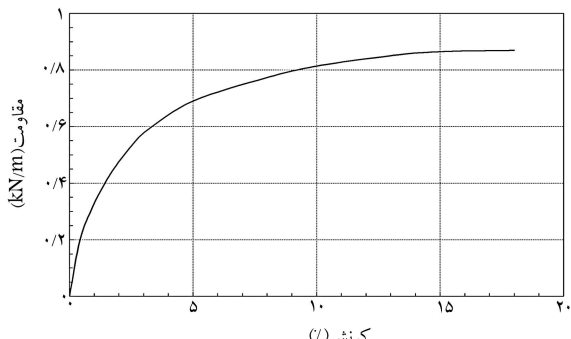
شکل ۶. تغییرات مدول تغییرشکل با نیز بارگذاری برای پی دایره‌ی سطحی واقع بر ماسه‌ی مسلح به ژئوگرد.<sup>[۹]</sup>



شکل ۹. دانه بندی مصالح خاکی.

جدول ۱. مشخصات مصالح خاکی.

مقدار	نمایه	پارامتر
۲/۱۸	$C_u$	ضریب یکنواختی
۱/۳۸	$C_c$	ضریب خمیگی
۰,۷۴۵ mm	$D_{10}$	اندازه میانی دانه ها
۱/۵۴ mm	$D_50$	اندازه متوسط دانه ها
۲,۶۶	$G_s$	توده دی ویژه دانه ها
۰,۵۵	$e_{min}$	نسبت تخلخل کمیه
۰,۷۸	$e_{max}$	نسبت تخلخل بیشینه
۱۵/۸ kN/m³	$\gamma_d$	وزن مخصوص خشک
%۵۶	$D_r$	چگالی نسبی
۴۱/۵۰	$\varphi$	زاویه اصطکاک داخلی ماسه



شکل ۱۰. آزمایش کشش زئوگرید.

ایران است که ابعاد آن ۳ mm (امتناسب با ابعاد متوسط دانه های خاک) است. مقاومت این زئوگرید، با استفاده از تعدادی آزمون کششی به دست آمده است. ملاحظه می شود که مقاومت آن بسیار ناچیز و نزدیک به ۲/۵ درصد مقاومت زئوگریدهای واقعی است (شکل ۱۰). سایر مشخصات زئوگرید در جدول ۲ آورده شده است.

عرض لایه مسلح کننده به میزانی برابر با عرض محفظه و طول آن برابر طول محفظه (معادل ۱۵B) انتخاب شده تا کل سطح محفظه را پوشش دهد. با انتخاب این طول، همچنین از عدم رخداد کشش زئوگرید (شکل ۱۱) اطمینان کافی حاصل می شود.

سیستم های پیشین، از تجارب و امکانات موجود برای مطالعه رفتار کمی و کیفی وسیع بوده می جوید.<sup>[۱]</sup> اجزاء اصلی این سیستم عبارتند از: ۱. محفظه خاک و ملحقات آن؛ ۲. سیستم بارگذاری؛ ۳. سیستم بارش؛ ۴. سیستم قرائت و ثبت اطلاعات؛ ۵. مدل پی که در کنار مصالح مورد استفاده برای مدل سازی در این بخش به اختصار تشریح شده است.

### ۱.۳. محفظه خاک و ملحقات آن

محفظه خاک دارای ابعاد داخلی طول ۸۰ cm، عرض ۳۴/۲ cm و ارتفاع ۷۵ cm است. به منظور ایجاد صلبیت مورد نیاز و تقلیل تغییر شکل های محفظه به مقادیر ناچیز، قاب این محفظه با پروفیل های فلزی ساخته شده و کف آن ورق فلزی ضخیم است. سه وجه جانبی از ورق پلاکسی گلاس ساخته شده که امکان مشاهده چگونگی ساخت نمونه و تغییر شکل خاک را فراهم می سازد. وجه چهارم (یکی از وجوه طولی) از ورق فلزی ساخته شده ولی برای کاهش اصطکاک جدار با مصالح، از داخل ورق پلاکسی گلاس به آن متصل شده است. محفظه خاک روی ریلی قرار دارد که امکان جابه جایی آن را برای انجام عملیات بارش و بارگذاری فراهم می سازد.

### ۲. سیستم بارگذاری

سیستم بارگذاری به صورت هوای فشرده<sup>[۲]</sup> است. سیلندر دو سر شفت دو طرفه توسط شیر متناسب ساز برقی (EP) که نوعی شیر تنظیم فشار است، کنترل می شود. این شیر به وسیله کارت D/A و نرم افزار توسعه یافته EP از سیستم رایانه بی فرمان می گیرد. بر این اساس، می توان بار استراحت را تا میزان معین و با سرعت مورد نظر به صورت خطی بر روی مدل پی اعمال کرد.

### ۳. سیستم بارش

نمونه سازی یکی از مراحل مهم در مطالعات آزمایشگاهی است. در این تحقیق برای به دست آمدن نمونه همگن با چگالی نسبی مشخص و تکرار پذیری شرایط آزمایشگاهی، روش بارش ماسه انتخاب شده که خاک از ارتفاعی معین و با سرعتی ثابت داخل محفظه ریخته می شود.<sup>[۱]</sup>

### ۴.۳. ماسه

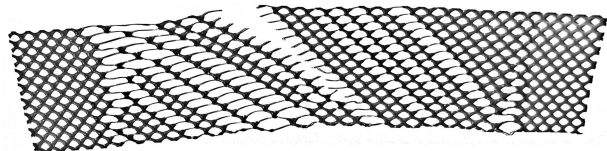
برای سهولت تحلیل نتایج به دست آمده و نیز کنترل دقیق پارامترهای مؤثر بر نتایج آزمایش از یکسو و تسریع عملیات آماده سازی و تکرار پذیری آن از سوی دیگر، از مصالح ماسه بی خشک با دانه بندی یکنواخت (شکل ۹) -- که براساس طبقه بندی Unified در گروه SP قرار می گیرد -- استفاده شده است. پارامترهای مختلف فیزیکی و مکانیکی خاک براساس آزمایش های استاندارد تعیین، و در جدول ۱ ارائه شده است.

### ۵. زئوگرید

با توجه به گسترش روزافزون کاربرد مصالح بسپاری، به ویژه کاربرد زئوگرید در مسلح سازی شالوده ها، از این مصالح برای تسلیح خاک استفاده شده است. به منظور کاهش اثر مقیاس، ضعیف ترین زئوگرید های موجود در بازار مورد بررسی قرار گرفته اند.<sup>[۲]</sup> زئوگرید منتخب و مورد استفاده در این تحقیق محصول شرکت مش

جدول ۲. مشخصات فیزیکی و مکانیکی ژوگرید.

پارامتر	واحد	مقدار
نام تجاری	-	GS۳۵
جنس	-	HDPE
وزن	gr/m <sup>۲</sup>	۲۵
ابعاد مش	mm	۴,۵ × ۴,۵
ضخامت مش	mm	۱,۰۵
مقاومت کششی	kN/m	۰,۸۷
کش آمدگی در بار حد اکثر	%	۱۸



شکل ۱۱. ژوگرید مورد استفاده بعد از آزمایش کشش.

## ۴. آزمایش‌های مدل‌سازی فیزیکی

### ۴.۱. چگونگی انجام آزمایش

ابتدا محفظه‌ی خاک زیرسیستم بارش مستقر می‌شود. خاک از صفحه‌ی مشبک با قطر چشم‌های ۱۰ میلی‌متر در ۴ لایه (هر لایه به ضخامت ۱۴ سانتی‌متر) و از ارتفاع ۷۵ سانتی‌متر درون محفظه باریده می‌شود. ارتفاع بارش با توجه به کالیبراسیون سیستم بارش به‌گونه‌یی انتخاب شده که تغییرات آن تأثیر چندانی بر چگالی مasse نداشته باشد. ضخامت لایه بارش نیز با توجه به حجم مخزن بارش و محدوده‌ی عدم تأثیر پذیری چگالی از ارتفاع ( $25 \pm 7$ ) انتخاب شده است. چگالی تمامی لایه‌ها پس از آزمایش و به‌وسیله‌ی ظروف صلبی که در گوشه‌های محفظه جاگذاری شده‌اند، کشتل می‌شود. هین بارش خاک در لایه‌ی چهارم، چنانچه مسلح‌سازی هدف باشد، بارش پس از رسیدن به ارتفاع محل استقرار مسلح‌کننده متوقف می‌شود و ژوگرید پس از تستیح روی سطح ماسه قرار می‌گیرد. سپس عملیات بارش تا رسیدن به سطح نهایی ادامه می‌یابد.

پس از تمام عملیات بارش، عملیات تستیح بدون دست‌خوردگی عمق خاک و با دقت خاصی انجام می‌شود تا سطح خاک کاملاً تازه و برای قرار گرفتن مدل پی مناسب باشد. سپس محفظه‌ی خاک به‌آرامی حرکت داده شده و زیر قاب بارگذاری، در محل خود ثابت می‌شود. مدل پی که قبلاً به شافت سیلندر بارگذاری متصل شده، به‌آرامی پایین می‌آید و روی سطح خاک قرار می‌گیرد.

دستور مورد نظر، شامل نزد بارگذاری و بیشینه بار اعمالی به سیستم کشتل داده می‌شود. هم‌زمان سیستم کشتل و سیستم قرائت و ثبت اطلاعات فعال شده و تا پایان انجام آزمایش دستور مورد نظر پی‌گیری می‌شود و اطلاعات مورد نظر به‌منظور تحلیل نتایج قرائت و ثبت می‌شوند. مطابق جدول ۳، مجموعاً سه سری آزمایش مختلف به‌منظور نیل به اهداف این تحقیق صورت گرفته است.

### ۴.۲. آزمایش‌های اولیه

آزمایش‌های اولیه با هدف بررسی توانایی‌های دستگاه، دقت و تکرار پذیری آزمایش‌ها صورت گرفته است. با توجه به تحقیقات انجام شده در سال ۱۹۶۵، سرعت متوسط تغییر مکان برای پی واقع بر خاک غیر مسلح در قسمت خطی در حدود متوسط و نزدیک ۲ mm/sec است.<sup>[۱]</sup> انجام آزمایش‌های اولیه چنان است که نزد تغییر مکان برای خاک مسلح و غیر مسلح یکی باشد. با توجه به نتایج این آزمایش‌ها که قبلاً آمده است:<sup>[۱]</sup>

۱. می‌توان ظرفیت باربری پی حالت غیر مسلح (آزمایش UR<sup>۳</sup>) را با نظریه‌های موجود مقایسه کرد. با انجام تحلیل معکوس، زاویه‌ی اصطکاک داخلی نزدیک ۴۵ درجه به دست می‌آید. از آنجا که معمولاً زاویه‌ی اصطکاک داخلی در حالت کرنش مسطح حدود ۳ درجه تا ۱۰ درجه بیش از حالت سه محوری است، نتیجه‌ی آزمایش با نظریه کاملاً مطابقت دارد.

$$q_u = ۰,۵\gamma BN_{\gamma} \quad (۱)$$

۲. با افزایش عمق اولین لایه مسلح‌کننده (۱)، ظرفیت باربری ابتداء تا نسبت بهیمه‌ی B/B<sub>۰</sub> که نزدیک ۵/۰ است (بیشینه اثر تسلیح برای نزد بارگذاری مشخص با توجه به آزمایش‌های دیگر از نگارندگان)،<sup>[۱]</sup> افزایش و سپس کاهش می‌یابد. روند مشاهده شده و نسبت بهیمه‌ی حاصله با نتایج سایر مطالعات همخوانی

### ۶.۳. سیستم قرائت و ثبت اطلاعات

از حسگر اندازه‌گیر تغییرمکان (LVDT)<sup>۵</sup> با دامنه‌ی جا به جایی ۱۰ cm و با قابلیت اندازه‌گیری جا به جایی تا سرعت ۰,۰۵ mm/s با دقت ۰,۰۵ mm برای اندازه‌گیری نشست و از حسگر اندازه‌گیر نیرو (سلول بار)<sup>۶</sup> دینامیکی با شکل S و با ظرفیت ۲/۵ تن برای اندازه‌گیری بار محوری اعمالی با دقت ۰,۰۵ کیلوگرم استفاده شده است. چهار حساسه‌ی (سنسور) اندازه‌گیری فشار نرمال در وجوده جانبی و یک حساسه در کتف، به‌منظور اندازه‌گیری فشار نصب شده است. طراحی و ساخت این حساسه نیز برای آزمایش‌های سریع چنان است که قادر به اندازه‌گیری و ثبت تغییرات سریع فشار باشد.

اطلاعات حساسه‌ها به صورت آنالوگ توسط یک تبادل اطلاعات<sup>۷</sup> کانالهای دینامیکی، که توانایی قرائت ۵۰ داده از هر کanal در یک ثانیه را دارد، قرائت شده و به سیگنال‌های دیجیتالی تبدیل می‌شود.

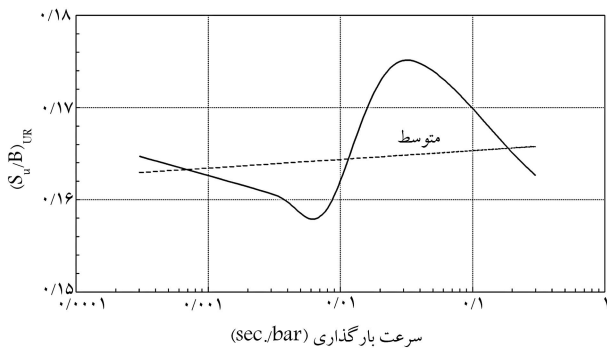
### ۷.۳. مدل پی

مدل پی به‌منظور تحقق شرایط کرنش مسطح باید دارای سختی کافی باشد. از طرفی باید سبک باشد تا قرار گرفتن آن روی خاک، تنش اولیه‌ی ناچیزی ایجاد کند و کار کردن با آن راحت باشد. به همین منظور برای ساخت مدل از آلومینیوم استفاده شده است.

عرض مدل پی با توجه به طول محفظه‌ی خاک و برای کاهش اثر دیواره‌ها و تشكیل کامل گوهه‌های لغزش معادل ۵ سانتی‌متر انتخاب شده است. برای رعایت صلیبیت، ضخامت مدل پی نیز معادل ۷/۵ سانتی‌متر انتخاب شده است. طول مدل پی ۳۴ سانتی‌متر و نزدیک به اندازه‌ی عرض محفظه‌ی خاک است. اختلاف ۲ میلی‌متری موجود، برای آسان قرار گیری پی در محفظه‌ی خاک و جلوگیری از درگیری مکانیکی بین مدل و محفظه همین آزمایش در نظر گرفته شده است. کف پی با چسباندن یک لایه‌ی بسیار نازک مصالح ماسه‌ای به‌کمک چسب اپوکسی زبر شده است.

جدول ۳. دسته‌بندی آزمایش‌های مدل‌سازی فیزیکی.

نرخ بارگذاری (bar/sec.)	وضعیت تسلیح			نام سری آزمایش
	طول (B/u)	نسبت عمق (B/u)	تعداد لایه‌ها	
۰,۰۱	۱۵	۱,۲۵ تا ۰,۲۵	۱	آزمایش‌های اولیه
۰,۳ تا ۰,۰۰۰۳	-	-	-	خاک غیرمسلح
۰,۳۱ تا ۰,۰۰۰۳۱	۱۵	۰,۵	۱	خاک مسلح



شکل ۱۳. تأثیر نرخ بارگذاری بر نسبت نهایی پی نواری واقع بر خاک ماسه‌بی غیرمسلح.

پی‌های واقع بر ماسه‌ی غیرمسلح و مقایسه با نتایج سایر محققین صورت گرفته است. در جدول ۴ خلاصه‌ی از مشخصات چند آزمایش مهم این سری ارائه شده است. چنان‌که در شکل ۱۲ نیز ملاحظه می‌شود، با افزایش نرخ بارگذاری ظرفیت بارگذاری تا سرعت‌های متوسط کاهش و سپس افزایش می‌یابد؛ اما روند تغییرات نسبت نیز بهم بوده و با افزایش سرعت بارگذاری، انکنی افزایش می‌یابد (شکل ۱۳).

رونوند تغییرات ظرفیت بارگذاری و نسبت حالت حدی با گزارشات ارائه شده توسط محققین در سال ۱۹۶۵<sup>[۱]</sup> همخوانی دارد. جالب‌تر این که نتایج حاصل از مقادیر نرخ بارگذاری کم، متوسط و سریع نیز یکسان بوده، اما موارد اختلافی نیز وجود دارد.

نسبت نهایی حدود دو برابر گزارشات ارائه شده توسط محققین در سال ۱۹۶۵ است که علت آن نقاوت شکل بی است. لازم به یادآوری است که عمق تأثیر پی نواری تقریباً ۲ برابر پی دایره‌ی است. ظرفیت بارگذاری در سرعت کم فقط حدود ۱۰ درصد بیشتر است درحالی که این مقدار در تحقیقات پیشین حدود ۳۳ درصد بوده است.

برخلاف نتایج حاصل از تحقیقات انجام‌شده در سال ۱۹۶۵ (شکل ۳)، سختی خاک در ناحیه‌ی خطی آزمایش‌های مختلف تقریباً برابر است و منحنی‌های بار-نشست تقریباً منطبق‌اند (شکل ۱۴).

#### ۴.۴. آزمایش‌های خاک مسلح

آزمایش‌های این سری با هدف تعیین اثر نرخ بارگذاری بر ظرفیت بارگذاری نهایی و رفتار پی‌های واقع بر ماسه‌ی مسلح به ژئوگرید انجام شده است. چگالی خاک و نحوه‌ی انجام آزمایش مشابه خاک غیرمسلح بوده و تنها نقاوت، وجود یک لایه ژئوگرید در عمق بهمینه ( $5^{\circ}/B = u/B$ ) است که پیش‌تر بهوسیله‌ی آزمایش‌های اولیه تعیین شده است.

جدول ۵ خلاصه‌ی از نتایج چند آزمایش مهم این سری را نشان می‌دهد.

دارد.<sup>[۴-۳]</sup> بنابراین، در کلیه آزمایش‌های صورت گرفته روی خاک مسلح، ژئوگرید در عمق بهمینه قرار داده شده است.

۳. محققین از دو پارامتر نسبت ظرفیت بارگذاری ( $BCR_u$ ) و نسبت نشست نهایی ( $SR_u$ ) برای بررسی تأثیر تسلیح خاک استفاده می‌کنند.

$$BCR_u = (q_u)_R / (q_u)_{UR} \quad (2)$$

$$SR_u = (S_u)_R / (S_u)_{UR} \quad (3)$$

که در آنها  $(q_u)_R$  و  $(q_u)_{UR}$  به ترتیب ظرفیت بارگذاری نهایی بی مسلح و غیرمسلح و  $(S_u)_R$  و  $(S_u)_{UR}$  به ترتیب نشست نهایی بی مسلح و غیرمسلح هستند. مقدار  $BCR_u$  برابر ۰,۱۰ و  $SR_u$  متناظر ۰,۶۰ است و در مجموع سختی خاک حدود ۵۰ درصد افزایش می‌یابد. نتایج مطالعات ایستای صورت گرفته توسط سایر محققین نیز نسبت  $BCR_u$  را حدود ۰,۱۵ تا ۰,۲۵ به دست داده است.<sup>[۴-۳]</sup>

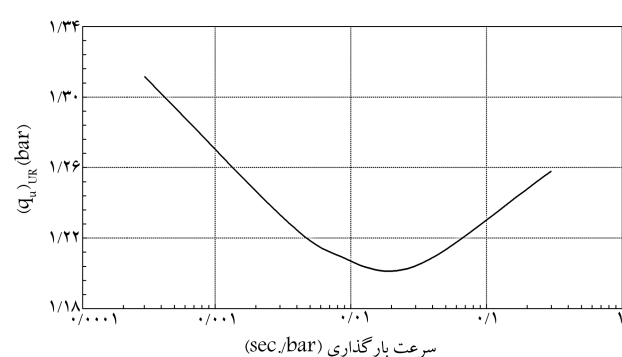
۴. تغییرات نشست نهایی با تغییرات ظرفیت بارگذاری هم خواست دارد، ولی مقدار افزایش نشست نسبت به حالت غیرمسلح کم‌تر از مقدار افزایش ظرفیت بارگذاری است، که نشان‌دهنده‌ی افزایش سختی خاک است.

۵. نمودار بار-نشست پس از ایجاد تراکم اولیه در خاک یک قسمت خطی دارد که سرعت متوسط نشست براساس آن محاسبه شده است.

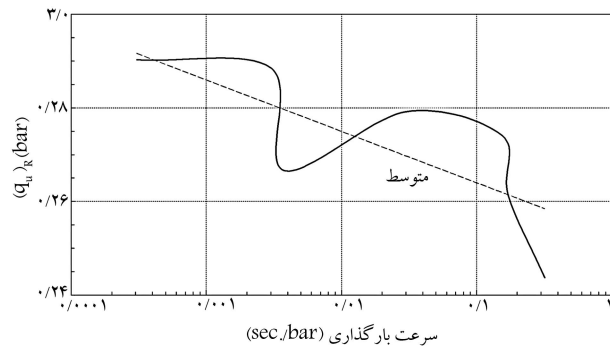
۶. پراکنده‌ی نتایج خاک مسلح بیشتر است، چرا که امکان دارد حین نمونه‌سازی قفل و بست مناسب بین ذرات خاک و مسلح‌کننده برقرار نشود و ظرفیت بارگذاری کم‌تر از حد انتظار مشاهده شود.

#### ۴.۵. آزمایش‌های خاک غیرمسلح

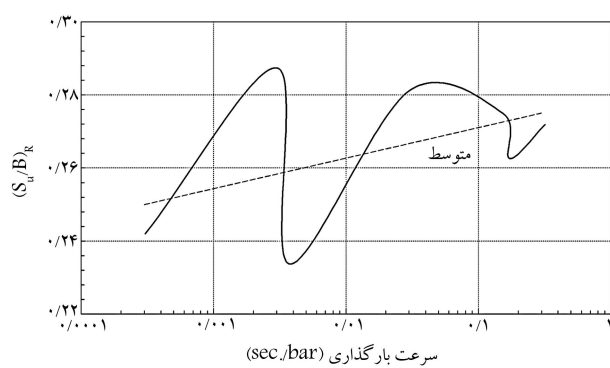
این آزمایش‌ها با هدف تعیین اثر نرخ بارگذاری بر ظرفیت بارگذاری و نشست نهایی



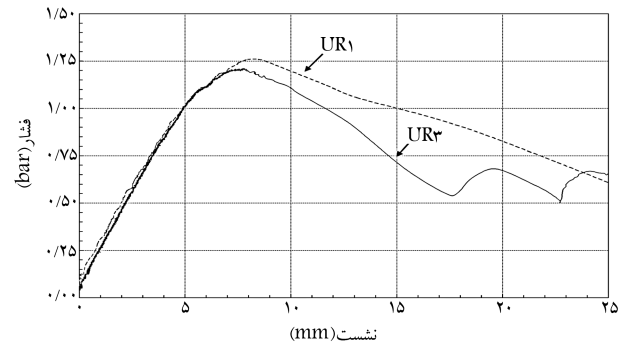
شکل ۱۲. تأثیر نرخ بارگذاری بر ظرفیت بارگذاری نهایی پی نواری واقع بر خاک ماسه‌بی غیرمسلح.



شکل ۱۵. تغییرات ظرفیت باربری نهایی پی نواری واقع بر خاک ماسه‌بی مسلح به زئوگرید با نزخ بارگذاری.



شکل ۱۶. تغییرات نشست نهایی پی نواری واقع بر خاک ماسه‌بی مسلح به زئوگرید با نزخ بارگذاری.



شکل ۱۴. مقایسه منحنی بار-نشست آزمایش‌های UR۱ و UR۳.

چنان که در شکل ۱۵ نیز ملاحظه می‌شود، برخلاف خاک غیرمسلح، ظرفیت باربری نهایی با افزایش نزخ بارگذاری فقط کاهش می‌یابد. مقدار کاهش ظرفیت باربری حدود ۱۲ درصد است. این در حالی است که نشست نهایی حدود ۱۰ درصد افزایش یافته است (شکل ۱۶) و در مجموع سختی خاک کاهش یافته است.

به نظر می‌رسد در سرعت‌های کم، بدلیل فرصلت ذرات برای حرکت و جابه‌جایی، تعامل کامل بین خاک و زئوگرید نزخ می‌دهد درحالی که با افزایش نزخ اعمال بار درگیری و تعامل خاک و مسلح کننده به صورت کامل نزد نداده و درنتیجه ظرفیت باربری کاهش می‌یابد. همچنین افزایش سرعت بارگذاری همراه با اینرسی خاک موجب می‌شود گسترش نتش به حالت سوراخ‌کنندگی<sup>۷</sup> نزدیک شود. درنتیجه، نشست بیشتری به ناحیه‌ی کوچک‌تری از مسلح کننده وارد می‌شود و به همین دلیل، همراه با کاهش ظرفیت باربری شاهد افزایش کرنش و نشست خواهیم بود.

جدول ۴. نتایج برخی از آزمایش‌های گروه الف (خاک غیرمسلح).

شماره‌ی آزمایش	سرعت متوسط نشست (mm/sec.)	سرعت متوسط بارگذاری (bar/sec.)	بار نهایی (bar)	نسبت نشست نهایی ( $S_u/B$ ) (%)
UR۱	۱,۶۲۴۲	$۲۹۸,۳ \times 10^{-۳}$	۱,۲۵۸	۱۶,۲۷
UR۲	۰,۱۷۶۵	$۲۹,۷۳ \times 10^{-۳}$	۱,۲۰۴	۱۷,۵۱
UR۳	۰,۰۴۰۱	$۷,۵۰ \times 10^{-۳}$	۱,۲۱۱	۱۵,۸۶
UR۴	۰,۰۱۶۵	$۳,۰۸ \times 10^{-۳}$	۱,۲۳۳	۱۶,۰۶
UR۵	۰,۰۰۱۵۶	$۰,۳۰ \times 10^{-۳}$	۱,۳۱۱	۱۶,۴۷

جدول ۵. نتایج برخی از آزمایش‌های گروه ب (خاک مسلح به یک لایه‌ی زئوگرید با طول ۱۵B و در عمق ۰,۵B).

شماره‌ی آزمایش	سرعت متوسط نشست (mm/sec.)	سرعت متوسط بارگذاری (bar/sec.)	بار نهایی (bar)	نسبت نشست نهایی ( $S_u/B$ ) (%)
R۱	۱,۲۹۷۳	$۳۱۹,۷ \times 10^{-۳}$	۲,۴۳۷	۲۷,۱۸
R۲	۰,۵۰۳۲	$۱۵۳,۷ \times 10^{-۳}$	۲,۷۴۱	۲۷,۴۹
R۳	۰,۱۱۶	$۲۹,۸ \times 10^{-۳}$	۲,۷۹۱	۲۸,۱۰
R۴	۰,۰۱۰۷	$۳,۰۲ \times 10^{-۳}$	۲,۸۸۵	۲۸,۷۳
R۵	۰,۰۰۱	$۰,۳۱ \times 10^{-۳}$	۲,۹۰۳	۲۴,۷۱

و نتایج محققین قبلی<sup>[۹]</sup> وجود دارد. به نظر می‌رسد دلیل کاهش شدید مقاومت با کاهش نزخ بارگذاری، وقوع خزش در توده‌ی خاک است. در ضمن محققین قبلی از ژئوگریدهای تجاری با مقاومت کششی  $12 \text{ kN/m}$  و ضخامت گره و نوار  $6,5 \text{ mm}$  استفاده کرده‌اند که با مصالح ماسه‌ی ریز  $D_{10} = 1,1 \text{ mm}$  متناسب نیست.

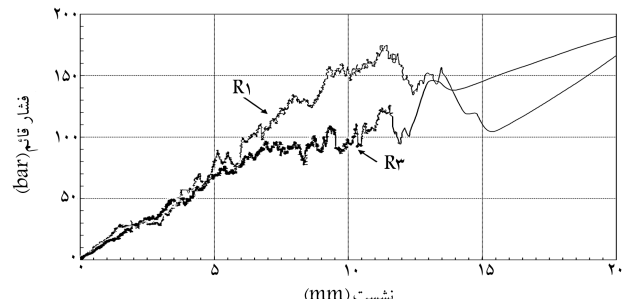
بررسی نمودارهای بار-نشست در آزمایش‌های این گروه نشان می‌دهد که مشابه خاک غیرمسلح، نمودار با قسمت خطی آغاز می‌شود و در نزدیکی حالت گسیختگی به قسمت غیرخطی متنه می‌شود. همچنین، سختی خاک در ناحیه‌ی خطی آزمایش‌های مختلف تقریباً برابر است (شکل ۱۸).

مقایسه‌ی نمودار بار-نشست آزمایش‌های همسان دو گروه (شکل ۱۹) نشان می‌دهد که سختی اولیه‌ی خاک در هر دو حالت تقریباً برابر است ولی به تدریج با افزایش تغییرشکل‌ها و درگیری بیشتر خاک و مسلح‌مند، سختی خاک مسلح افزایش می‌یابد.

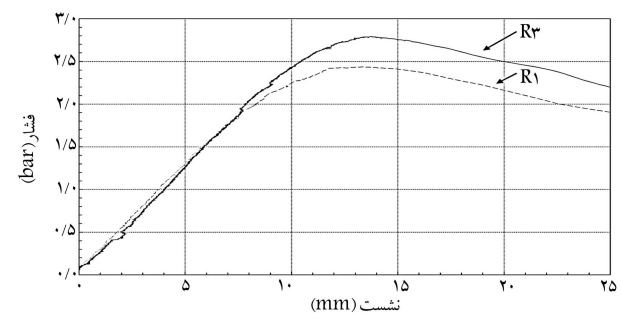
## ۵. نتیجه‌گیری

تأثیر نزخ بارگذاری بر رفتار خاک غیرمسلح قبلاً مشاهده و تحلیل شده و در این تحقیق نیز چنین رفتاری ملاحظه شده که نشان‌دهنده‌ی صحت و دقت مدل‌سازی است. اما در خاک مسلح دو مصالح کاملاً متفاوت کنار یکدیگر قرار می‌گیرند. ماسه از مصالح دانه‌ی بدن مقاومت کششی است در حالی که ژئوگرید فاقد مقاومت فشاری و خشمی بوده، و فقط مقاومت کششی دارد. درگیری ژئوگرید با دانه‌های خاک منجر به افزایش سختی و ظرفیت بارگذاری خاک می‌شود.

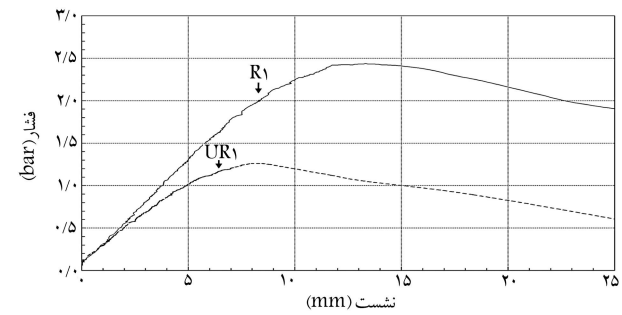
اندکشاف این دو مصالح منجر به پیچیدگی رفتار مجموعه و بروز رفتار متفاوت با خاک غیرمسلح می‌شود. به همین دلیل آزمایش‌های صورت‌گرفته به منظور بررسی اثر نزخ بارگذاری بر رفتار مدل پی نواری واقع بر خاک مسلح به ژئوگرید، نشان‌گر رفتارهایی کاملاً متفاوت با خاک غیرمسلح است. این موضوع از مهم‌ترین دستاوردها و نوآوری این مطالعه است؛ یعنی برخلاف خاک غیرمسلح، ظرفیت بارگذاری نهایی خاک مسلح با افزایش نزخ بارگذاری کاهش و نشست نهایی خاک مسلح افزایش می‌یابد. به نظر می‌رسد زمان کم ذرات برای حرکت و درگیرشدن با مسلح‌مند و نیز نزدیکشدن وضعیت گسیختگی به سوراخ‌کنندگی و درنتیجه تمرکز نشش، دلیل اصلی چنین رفتاری باشد.



شکل ۱۷. مقایسه‌ی منحنی فشار جانبی قائم - نشست آزمایش‌های R۱ و R۳.



شکل ۱۸. مقایسه‌ی منحنی بار-نشست آزمایش‌های R۱ و R۳.



شکل ۱۹. مقایسه‌ی منحنی بار-نشست آزمایش‌های UR1 و R۱.

مقایسه‌ی منحنی فشار جانبی قائم - نشست دو آزمایش ۶۴ و ۶۵ (شکل ۱۷) نشان می‌دهد که علی‌رغم فشار کم‌تر در آزمایش ۶۴، به دلیل وجود حالت سوراخ‌کنندگی، تمرکز فشار زیر پی بیشتر است و فشار خاک فرصت گسترش در توده را پیدا نکرده است. یادآور می‌شود تفاوت قابل ملاحظه‌ی بین نتایج حاضر

## پانوشت

1. blast resistant structures
2. missile launching
3. inertial restraint
4. pneumatic
5. linear variable differential transducer
6. Loadcell
7. punching

## منابع

1. Abrishami, S. and Mirhosseini, S.M. "Design and development of a new physical model of strip footings on reinforced soil media under cyclic loadings", *Amirkabir University Journal*, (2009).
2. Vesic, A.S.; Banks, D.C. and Woodard, J.M. "An experimental study of dynamic bearing capacity of footings on

- sand”, *Proc. of Sixth Int. Conf. Soil Mech. Found. Eng.*, Montreal, Canada, pp. 209-213 (1965).
3. Chen, Q., *An Experimental Study on Characteristics and Behavior of Reinforced Soil Foundation*, PhD Thesis, Louisiana State University (2007).
  4. Patra, C.R.; Das, B.M. and Atalar, C. “Bearing capacity of embedded strip foundation on geogrid reinforced sand”, *Geotextiles & Geomembranes*, **23**, pp. 454-462 (2005).
  5. Patra, C.R.; Das, B.M.; Bhoi, M. and Shin, E.C. “Eccentrically loaded strip foundation on geogrid reinforced sand”, *Geotextiles & Geomembranes*, **24**, pp. 254-259 (2006).
  6. Sitharam, T.G. and Sireesh, S. “Behavior of embedded footings supported on Geogrid cell reinforced founda-  
tion beds”, *Geotechnical Testing Journal, ASTM*, **28**, pp. 452-463 (2005).
  7. De Beer, E.E. and Vesic, A. “Etude experimentale de la capacite portante du sable sous des fondations directes etablies en surface”, *Annales des Travaux Publics de Belgique*, **59**, pp. 3-51 (1958).
  8. Heller, L.W., *Failure Modes of Impact-Loaded Footings on Dense Sand*, Technical Report, R-281, U.S. Naval Civil Engineering Laboratory, p. 31 (1964).
  9. Alawaji, H.A. “Creep and rate of loading effects on geogrid-reinforced sand”, *Geotechnical and Geological Engineering*, **23**, pp. 583-600 (2005).
  10. Kolbszewski, J. “General investigation of the fundamental factors controlling loose packing of sands”, *Proc. of the 2nd Int. Conf. on Soil Mechanics and Foundation Eng.*, Rotterdam, **VII**, pp. 47-49 (1948).

